

II-143 2断面よりなるU字管内自由水面振動の減衰率

東京都立大学工学部 正員 安川

治

1. 結論
U字管より1つは連結管の自由振動の減衰機構は振動角速度の複素角速度への伝達の問題として、振動流境界層の乱流機構や制水口型ナーボンク、管内オリフィス等の管内突起部に進行する渦の発生機構が重要な問題と見られる。非常に複雑である問題である。本報告では管径の異なる2種類の管を不連続に接続した時のU字管について断面急変部の渦を考慮せしめ、管壁のマサントリル支配方程式による場合の減衰振動と複素角速度の算定法と若干の実験結果を述べる。

2. 複素角速度の決定条件式
一様管径よりなるU字管の自由振動は、未定の複素角速度を有了す振動角速度の仮定の下にナビア・ストークス方程式を解き、断面平均流速か水面の移動速度に等しいとする連続条件より複素角速度を定めることとする。 $T = \frac{1}{\omega}$

今回の2断面よりなるU字管は下記のとおりである。
非定常運動水勾配線の変化は着目する。
運動水勾配線の変化は運動量方程式より導かれるが、一般のエネルギー方程式は運動方程式に速度成分を乗じて変形されるべき（運動方程式の解には必然的にエネルギー方程式を満足する）。エネルギー方程式では速度成分の3次の項を含むことによって運動量方程式では2次の項を含むことになる。

3. 未定複素角速度を有了す形式解

それらの条件式により未定複素角速度を決定するとした筆者の場合では、運動量方程式から導かれた条件式を用いるのが得策である。図-1 は示すU字管は、自由表面局所流速 U 、断面平均流速 V 、壁面剪断応力 τ_0 、流量 Q 等により、断面急変部を含むこと注意の微小区間 dx にて、運動量方程式より次式が導かれる。 $\therefore \tau_0 = \varepsilon \left(\frac{\partial U}{\partial x} \right)_{x=0}$ 定義。

$$\frac{\partial}{\partial x} (PQ) dx + \frac{\partial}{\partial x} \left\{ \int P U^2 dA \right\} dx = - \rho g \frac{\partial}{\partial x} \left\{ \int (H + \frac{P}{\rho g}) dA \right\} dx + 2 \pi r_0 \tau_0 dx$$

それを断面急変部を含むこと注意の2断面 $x=x_0$ 及び $x=x_1$ にて式を立てると

$$(x-x_0) \frac{\partial}{\partial x} \left(\int P U^2 dA \right) - \left(\int P U^2 dA \right)_{x=x_0} = - \rho g A \left[\left(H + \frac{P}{\rho g} \right) - \left(H + \frac{P}{\rho g} \right)_{x=x_0} \right] + \int_{x_0}^x 2 \pi r_0 \tau_0 dx \quad (1)$$

自由水面 S_1, S_2 は $S_1 = S_2$ である。水面は平面と假定すると $H = S_1 - x_0$ である。水面 S_1 と断面 x_1 、水面 S_2 と断面 x_2 は運動量方程式を適用する $H + \frac{P}{\rho g}$ と人れ。略記 τ_0 とした式を立てると

$$H_0 - S_1 + \lambda_1 = \frac{1}{g} \frac{\partial}{\partial t} \left\{ V_1 (x_1 - S_1) \right\} + \frac{1}{g A_1} \left(U_1^2 - U_0^2 \right) dA - \frac{2 \tau_{01}}{\rho g r_{01}} (x_1 - S_1) \quad (2-1)$$

$$H_0 - H_0 - S_2 = \frac{1}{g} \frac{\partial}{\partial t} \left\{ V_2 (\ell + S_2 - x_2) \right\} + \frac{1}{g A_2} \left(U_2^2 - U_0^2 \right) dA - \frac{2 \tau_{02}}{\rho g r_{02}} (\ell + S_2 - x_2) \quad (2-2)$$

$$h_1 - h_2 = \frac{x_2 - x_1}{g A_2} \frac{\partial Q}{\partial t} + \frac{1}{g A_2} \left[\int_{\substack{A_2 \\ z=x_1}}^{A_2} U^2 dA - \int_{\substack{A_2 \\ z=x_2}}^{A_2} U^2 dA \right] - \frac{1}{A_2} \int_{\substack{A_2 \\ z=x_1}}^{A_2} (h_0 - h_1) dA \quad \dots \quad (2-3)$$

以上の式を加え合つて h_0, h_1, h_2 を消去し、微小変動を仮定した時の質量収支式。左辺は x_0 の近傍で Δx とおき、領域(I), (II) の平衡断面水深差を ℓ_1, ℓ_2 とすと $x_1 = \ell_1, x_2 = \ell_2$, $\ell = \ell_1 + \ell_2$, $\zeta = \zeta_1, \zeta_2$ は Δx と ℓ , ℓ_1, ℓ_2 と較べ無視でき、速度の2乗の項も無視でき、連続条件(4) $A_1 \zeta_1 = A_2 \zeta_2$ すなはち $\zeta_1 = \zeta_2$ を定義すれば管断面積比 α を導入して(2)式を得る。

$$-(1+\alpha) = -\frac{\omega^2}{g} (\alpha \ell_1 + \ell_2) + \frac{2\omega^2}{g} \left[\frac{\zeta_1(x_1)}{x_1 \zeta_2(x_1)} \cdot \alpha \ell_1 + \frac{\zeta_1(x_2)}{x_2 \zeta_2(x_2)} \cdot \ell_2 \right]$$

$X \rightarrow \infty$ 时 $\zeta_1(X)/\{X, \zeta_2(X)\} \rightarrow 0$ を考慮すれば非粘性流動の場合は $\varepsilon \rightarrow 0$ すなはち $X_1 = r_0 \sqrt{-\frac{\omega}{\varepsilon}}$ 及び $X_2 = r_0 \sqrt{-\frac{\omega}{\varepsilon}}$ は $\varepsilon \rightarrow 0$ の無限大となり、非粘性流動の速度 m ($= \dot{V}$) 無次元化 = 小さな複素角速度 $\Omega = \omega/m$ の条件(2)を満たす。

$$\Omega^2 = \frac{1}{1 - \left[\frac{\zeta_1(x_1)}{x_1 \zeta_2(x_1)} \cdot \frac{2\alpha \ell_1}{\alpha \ell_1 + \ell_2} + \frac{\zeta_1(x_2)}{x_2 \zeta_2(x_2)} \cdot \frac{2\ell_2}{\alpha \ell_1 + \ell_2} \right]} \quad \dots \quad (3)$$

3 数値計算方法

[3-1] 領域(I), (II) が層流域である場合 $\varepsilon \equiv \nu$ 。無次元式より $\gamma = r_0 \sqrt{\frac{\omega}{\varepsilon}}$ を導入すれば $X_1 = \gamma_1 \sqrt{-\frac{\omega}{\varepsilon}}, X_2 = \gamma_2 \sqrt{-\frac{\omega}{\varepsilon}}$, $\gamma_1 = -\Omega^2 = X_1^4 / r_0^4$ と式(3)より Ω^2 を消去すれば X_1, γ_1 に関する方程式となる。

[3-2] L-TS が乱流の場合、 $\varepsilon \equiv \alpha \hat{v}_0 r_0$ 式(3)の右辺を $-F(X_1, X_2)$ と表わせば以下のように Ω^2 を得る。BPS: $-\Omega^2 = F(X_1, X_2)$, $\Omega^2 = -r_0 \omega^2 \hat{v}_0^2 / X_0 \zeta_2(X_0)$, $\varepsilon = \alpha \hat{v}_0 r_0$, $X_0 = r_0 \sqrt{-\frac{\omega}{\varepsilon}}$, $r_2 \gamma_1 = \Omega^2 \gamma_2^2$ すなはち式(4)より ε を消去し、それを式(3)の右辺に代入すれば $-\Omega^2 = \hat{v}_0^2 \gamma_0^4 \text{Amp}[\frac{\zeta_1(x_0)}{X_0 \zeta_2(x_0)}] \alpha^2 \frac{\hat{v}_0^2}{r_0}$ が得られる。位相と干渉する着目式(3)の次式が得られる。ここで \hat{v}_0 は複素量 \times の形で表示された。

$$2 \operatorname{Arg} \Omega \pm \pi = 4 \operatorname{Arg} X_0, \quad \text{Amp}[\frac{\zeta_1(x_0)}{X_0 \zeta_2(x_0)}] = 1 / (\alpha^2 \frac{\hat{v}_0^2}{r_0}) \quad \dots \quad (4)$$

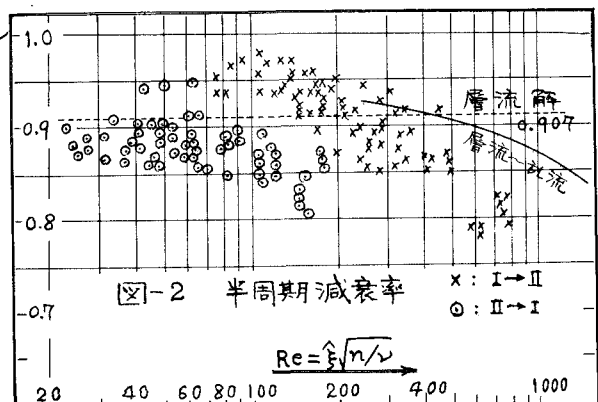
α の実数部 α は $\alpha = (2.5 + 0.05 \hat{v}_0 / r_0) \times 10^3$ と定められると(4)より γ_1, γ_2 が計算され、式(4)の第2式から \hat{v}_1, \hat{v}_2 が定まる。位相にはついては次の式を満足せねばならない。

$$F(X_1, X_2) = \hat{v}_0^2 \gamma_0^4 \text{Amp}[\frac{\zeta_1(x_0)}{X_0 \zeta_2(x_0)}] \cdot \alpha^2 \frac{\hat{v}_0^2}{r_0} \quad \dots \quad (5)$$

[3-3] 全領域(I)が乱流、(II)が層流の場合、 $X_1 = r_0 \sqrt{-\frac{\omega}{\varepsilon}}$, $X_2 = r_0 \sqrt{-\frac{\omega}{\nu}}$ すなはち $-\Omega^2 = X_2^4 / r_2^4$ が得られる。式(4)より ε を消去すれば X_1, γ_1 が定まる。また $X_2^4 / r_2^4 = F(X_1, X_2)$ すなはち X_2 が定まる。すなはち実験式は X_1, X_2 の位相は等しく $\gamma_1 = \gamma_2$ が得られる。

4 実験結果並びに考察

実験は直径 5cm 及び 10cm の塩化ビニル管を長さ 5.93m 及び 4.03m の直線管で行なった。
管内径は 5.93 cm 及び 4.03 cm の直線管で $R = 0$ 。
式(3)の定数は $\ell_1 = 5.93 \text{ m}, \ell_2 = 4.03 \text{ m}, \varepsilon = 4.0, \hat{v}_0 = r_0 \sqrt{\frac{\omega}{\nu}}$ とする。定義式(3)は 1.03×10^{-3} である。
 $\gamma_1 = 24.4, \gamma_2 = 48.7$ である。実験結果(2)(3)は γ_1 が γ_2 よりデータの散らばりが大きくなる傾向がある。
また $(\text{II}) \rightarrow (\text{I}) \rightarrow (\text{II})$ への流れと $(\text{II}) \rightarrow (\text{I})$ への流れとの減衰率の差異を調べたところ $\gamma_1 = 24.4, \gamma_2 = 48.7$ である。
後回しに精密な実験を行なった。



参考文献

- (1) 岩川・田中、「管内の自由表面流の減衰率(1)」第3回研究会論文集 208号, 1972, 12